多特色子类源哪 与信息检索系

谢 志 私 北京大学医学图书馆 xiezy@bjmu.edu.cn 2007.9.25



引言

- □医药文献信息检索的意义
- □图书馆与Internet上的信息资源
- □印刷型信息资源和电子型信息资源
- □网络环境下各类信息的检索方法与技巧
- □充分有效地利用信息资源,促进医教研水平的提高

生物医学信息的类型与检索工具

- □教材或专著 (Books) 联机公共书目数据库,电子图书数据库
- □期刊文献(Articles) 文摘索引型数据库,电子期刊全文数据库,因特网免费数据库
- □临床证据(Clinical Evidences) 循证医学数据库,循证医学指南数据库,临床事实型数据库
- □ 文献之间的引用信息(Citations) 引文分析数据库
- □事实、数值数据(Data) 医学工具书,辞典,临床手册
- □相关基因和蛋白质序列(Bioinformatics) 图特网免费生物信息学数据库
- □ 多媒体教学课件(Multimedia Materials) 各种光盘出版物,声视频资料

图书馆提供的电子资源

- □联机公共书目信息
- □文献信息数据库
 - 一、二次文献、事实信息、引用信息、期刊影响因子等。
- □电子期刊
- □电子图书
- □电子学位论文
- □多媒体课件
- □声视频资料

图书馆主页

http://library.bjmu.edu.cn



北京大学医学图书馆

Peking University Health Science Library





- 天士収集医字部教师 出版物的通知
- 🐊 通 知

>>更多

最新资源

.......

- 欢迎使用 "MD Consult数据库
- 欢迎使用"不列颠百 科全书网络版













联机公共书目信息

书目信息是对图书馆馆藏纸本书刊及其它资源的揭示。通过远程网络检索,读者可以了解有关书刊的馆藏情况。联机公共书目(Online Public Access Catalogue, OPAC)查询是图书馆提供的一项最基本的网络信息服务。

- 1. 馆藏联机公共书目查询:对本馆资源的揭示。可预约书刊。
- 2. 书刊联合目录查询: 对多个图书馆馆藏资源的共同揭示, 开展馆际互借、资源共享。此, 全国西文生物医学期刊联合目录等。
- 3. 读者借阅信息查询: 读者在网上自己查询借阅情况。可自己办理续借手续。
 - 4. 新书通报:报道图书馆新近采集的信息资源。

北京大学医学图书馆OPAC系统

「馆藏目录 | 其它路径 | 教学参考书预约台 | 信息咨询台 | 读者服务 |

【返回】【帮助】【请求】【首选项】【返回主页】

English

快速检索

租短语

浏览

索书号浏り

拼音检

自业检查

图书馆: ALL

~

全面检索 著 者 题 名 主 题 期刊刊名

注意:因系统参数调整,已将馆址"总出纳台"改为"闭架借书处";"小说检索步骤。

1. 选择检索方式:

快速检索:命中记录包含您所输入的检索词,或检索词中的一个单元词组短语:命中记录包含与您所输入的检索词完全一致的词组或短语浏览:命中记录以您所输入的检索词开始,或称前方一致浏览索书号:按各种分类体系的索书号或分类号浏览书目拼音检索:按全拼(BeiJingDaXue)或简拼(BJDX)形式检索书目中的著者,题名和主题复杂检索:提供布尔逻辑组合等复杂检索功能,并可按丛编或期刊题名分别检索

- 2. 输入检索词
- 3. 选择检索字段

全面检索:检索书目记录中所有建立了索引的字段

输入任意书刊名、著者 、关键词,可知馆藏状 况,包括电子资源

全国高校图书馆书刊联合目录系统



文献信息数据库

- ☞ 光盘网络信息检索系统
- ☞集成57种专业数据库
- ●校园网免费检索 (包括6个附属医院)
- *检索方法与技巧
- ●用户评价与推荐

光盘及网络数据库目录(一)

■文摘索引型数据库 (Abstracts & Indexs)

- 1、MEDLINE《美国全科医学文献数据库》1966-
- 2、EMBASE《荷兰医学文摘》1989-
- 3、BIOSIS Previews《美国生物学文摘数据库》1996-
- 4、CAplus《美国化学文摘》1907 -
- 5、HealthSTAR《卫生管理数据库》1990-
- 6、CAB HEALTH 《CAB医药文献数据库》1973-
- 7、CINAHL《卫生保健及护理学数据库》1982-
- 8、CANCER《肿瘤综合信息数据库》1989-
- 9、CANCERLIT 《肿瘤文献数据库》1996-
- 10、AIDSLINE 《艾滋病文献数据库》1980-
- 11、IPA《国际药学文摘》1970-
- 12、Drug Information Fulltext (DIF) 《药物信息全文库》
- 13、IDIS 《爱荷华药物信息数据库》1966-
- 14、Inpharma Database 《新药信息全文库》1996-

光盘及网络数据库目录(二)

- 15、Reactions Database 《药物副作用数据库》1983-
- 16、TOXLINE 《毒理学文献数据库》1981-
- 17、BIOETHICSLINE Plus 《生物伦理学文献数据库》1973-
- 18、POPLINE《人口及计划生育文献数据库》1970-
- 19、SPORT Discus 《运动医学文献数据库》1975-
- 20、HERACLES (French) 《运动医学法文文献数据库》
- 21、CATALOGUE MUSEE OLYMPIQUE《运医法文数据库》
- 22、ATLANTES 《运动医学西班牙文文献数据库》 1980-1996
- 23、UnCover《大型综合学科网络数据库》 1988-
- 24、OCLC FirstSearch《大型综合学科网络数据库》 1980-
- 25、Cambridge Scientific Abstracts 《剑桥科学文摘》80 -
- 26、ISI Chemistry Server《大型化学数据库》 current
- 27、Current Contents Connect 《现期期刊目次》1990-
- 28、ISI Proceedings 《科学技术会议录》1996 -

光盘及网络数据库目录(三)

- 29、Derwent Innovations Index《德温特专利索引》1963-
- 30、CBMDISC《中国生物医学文献数据库》1978-
- 31、CMCC《中文生物医学期刊文献数据库》1994-
- 32、CPA《中国药学文摘光盘数据库》1982-
- 33、CMAC《中国医学学术会议论文数据库》1994-

四事实型数据库 (包括循证医学数据库)

- 34、Healthcare Series《美国临床医生事实型数据库》Current
- 35、The Cochrane Library《循证医学数据库》current
- 36、Beilstein/Gmelin 《化学资料网络数据库》

逾引文分析数据库

- 37、Web of Science《美国科学引文索引(SCI)网络数据库》
- 38、Journal Citation Reports (JCR)《期刊引文分析数据库》
- 39、CSCS《中国科学引文数据库》1998-
- 40、CMCI《中国生物医学期刊引文数据库》1994-

光盘及网络数据库目录(四)

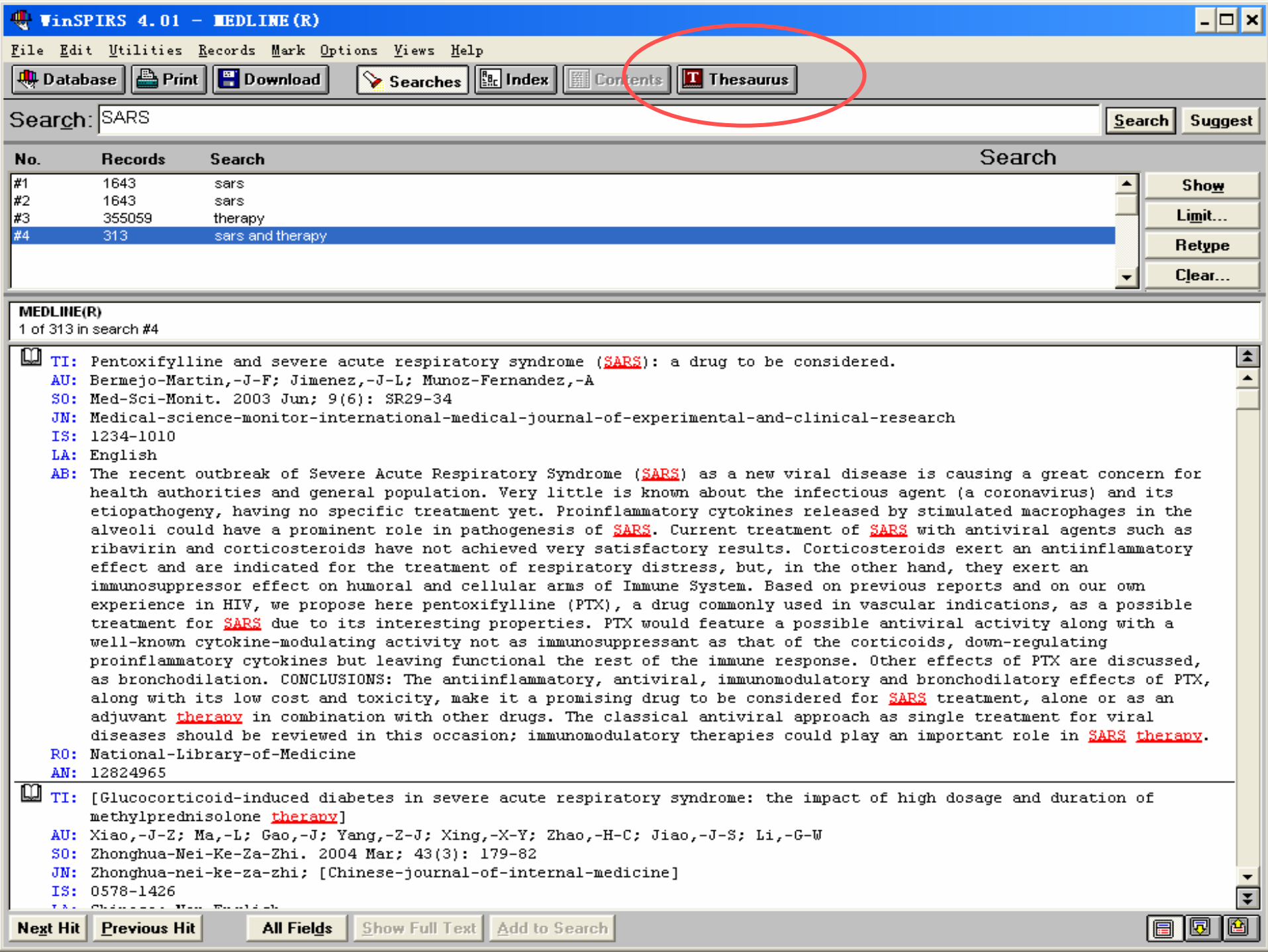
』电子期刊全文数据库

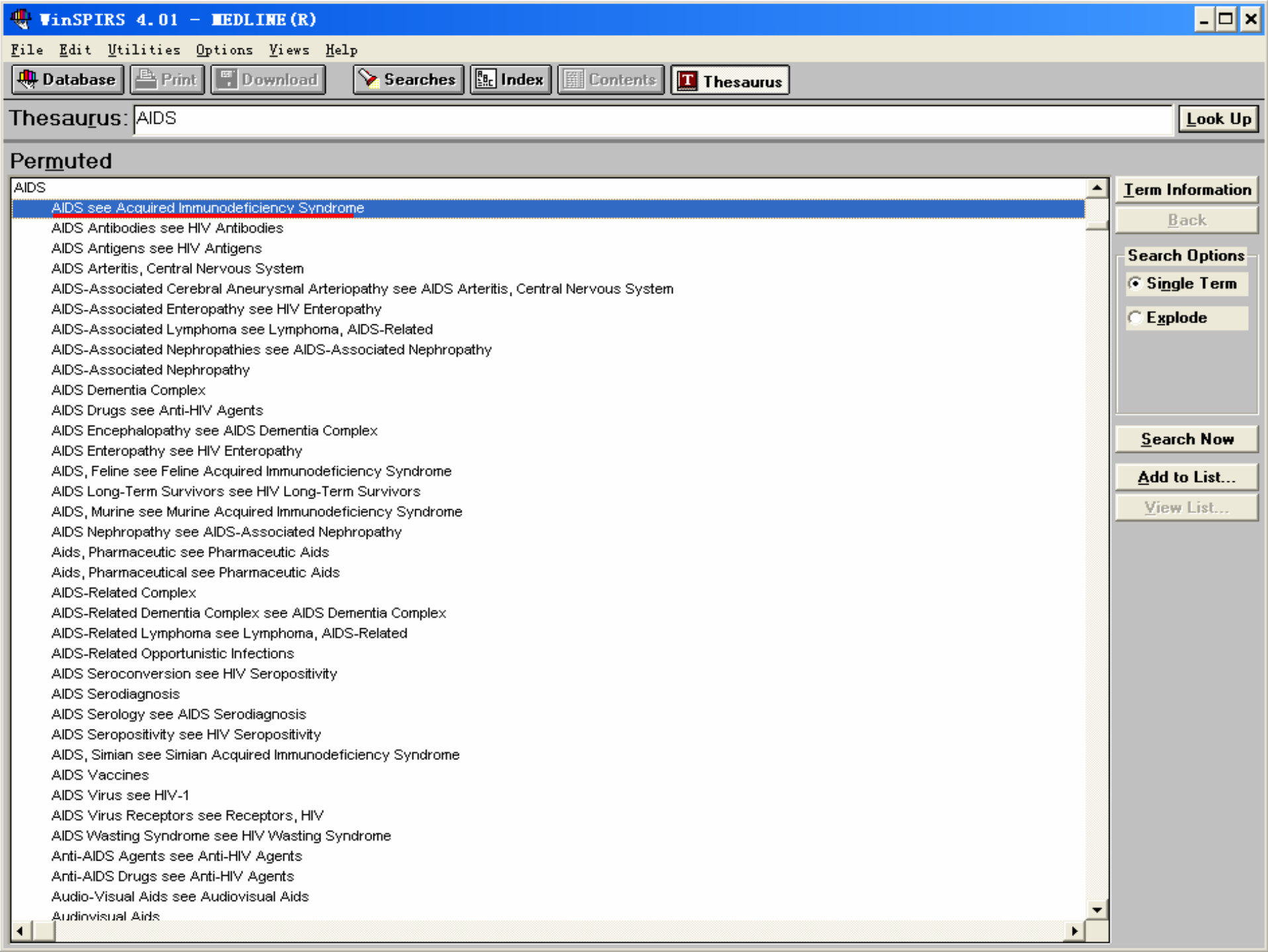
- 41、ScienceDirect OnSite 《Elsevier电子期刊全文数据库》 (SCI:573, IF:18.1, Trends cell biol; Trends neurosci; Immnu Today)
- 42、ProQuest《保健、医学与药学电子期刊全文数据库》1986-(SCI:310, IF:10.3, Am J Med, Nephrol, Psychiat, Pub healh, Resp)
- 43、Kluwer Online 《Kluwer电子期刊全文数据库》1986-(SCI:253, IF:6.7, J Biomol nmr, Invest New drug, Plant Mol biol)
- 44、EBSCO Host《EBSCO电子期刊全文数据库》1995 (SCI:208, IF:6.4, Mol Microbio, J neurochem, Genes Cells)
- 45、SPRINGER《斯普林格电子期刊全文数据库》1998 (SCI:277, IF:6.3, Diabetologia, Rev Physiol Bioch P, J MOL Med)
- 46、Nature全文在线
- 47、IDEAL《美国Academic Press电子期刊全文数据库》1986-(SCI:179, IF:23.1, Adv Immunol, Front Neuroendocrin, Adv Cancer Res)

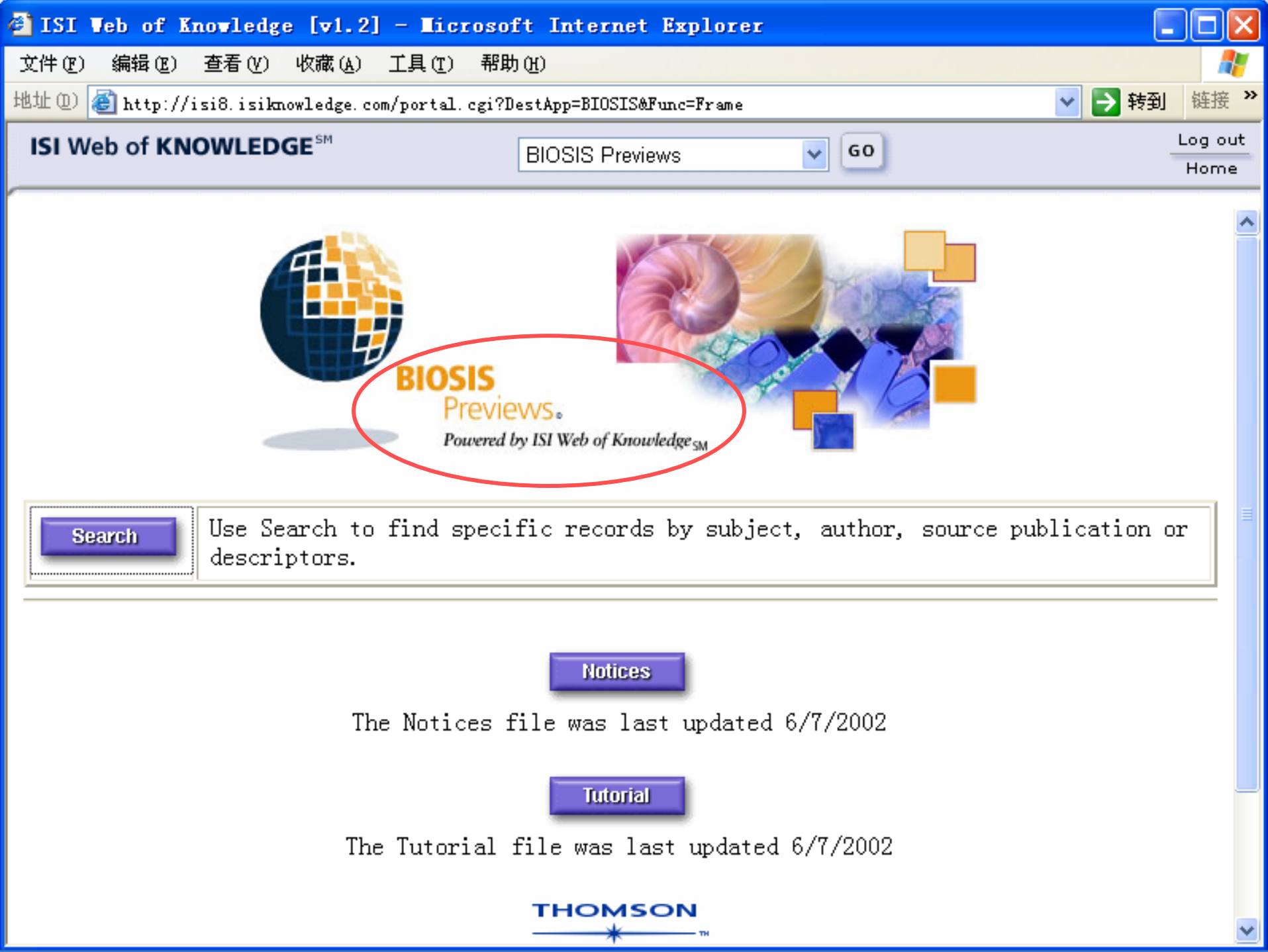
光盘及网络数据库目录(五)

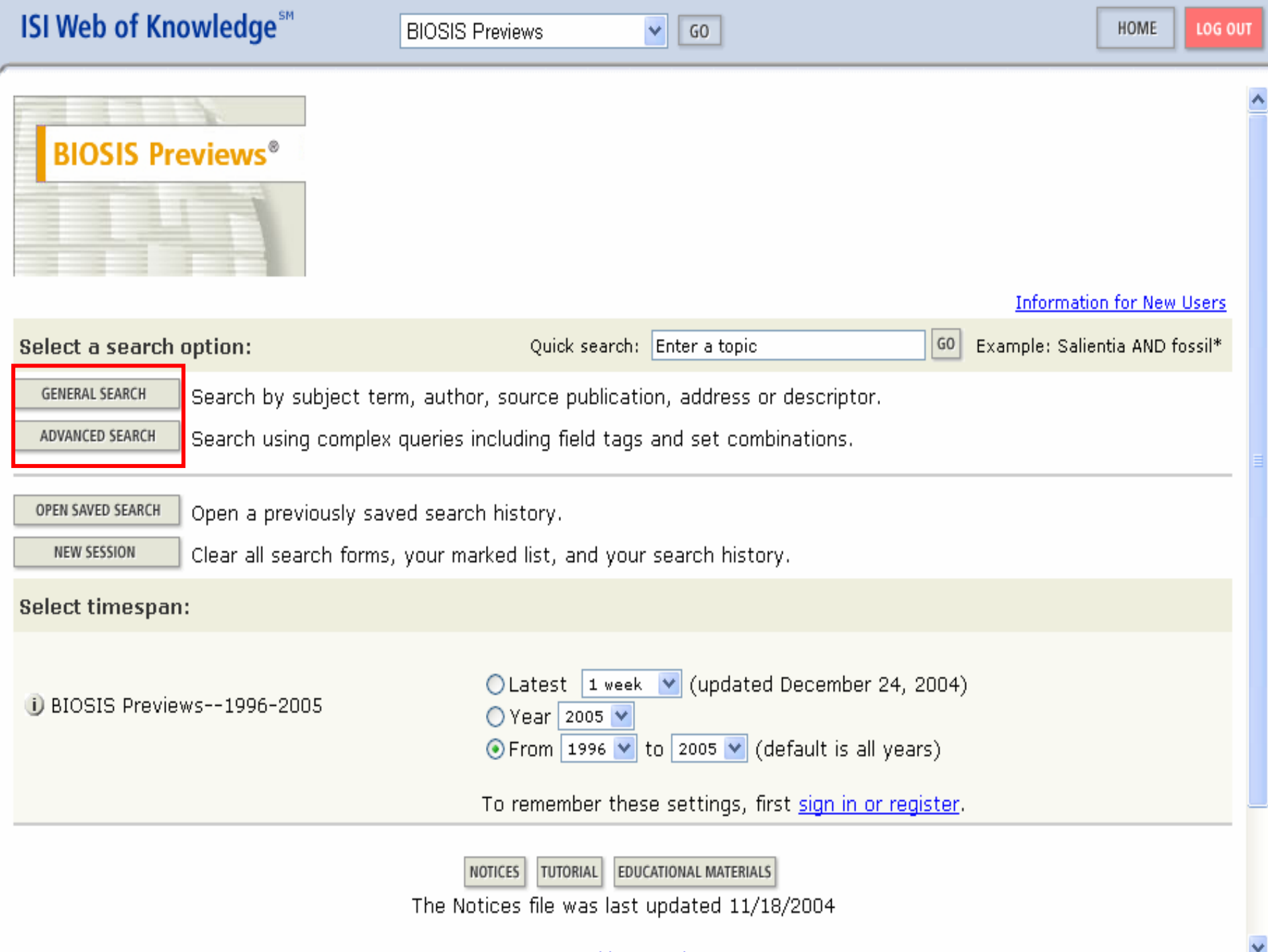
『电子期刊全文数据库

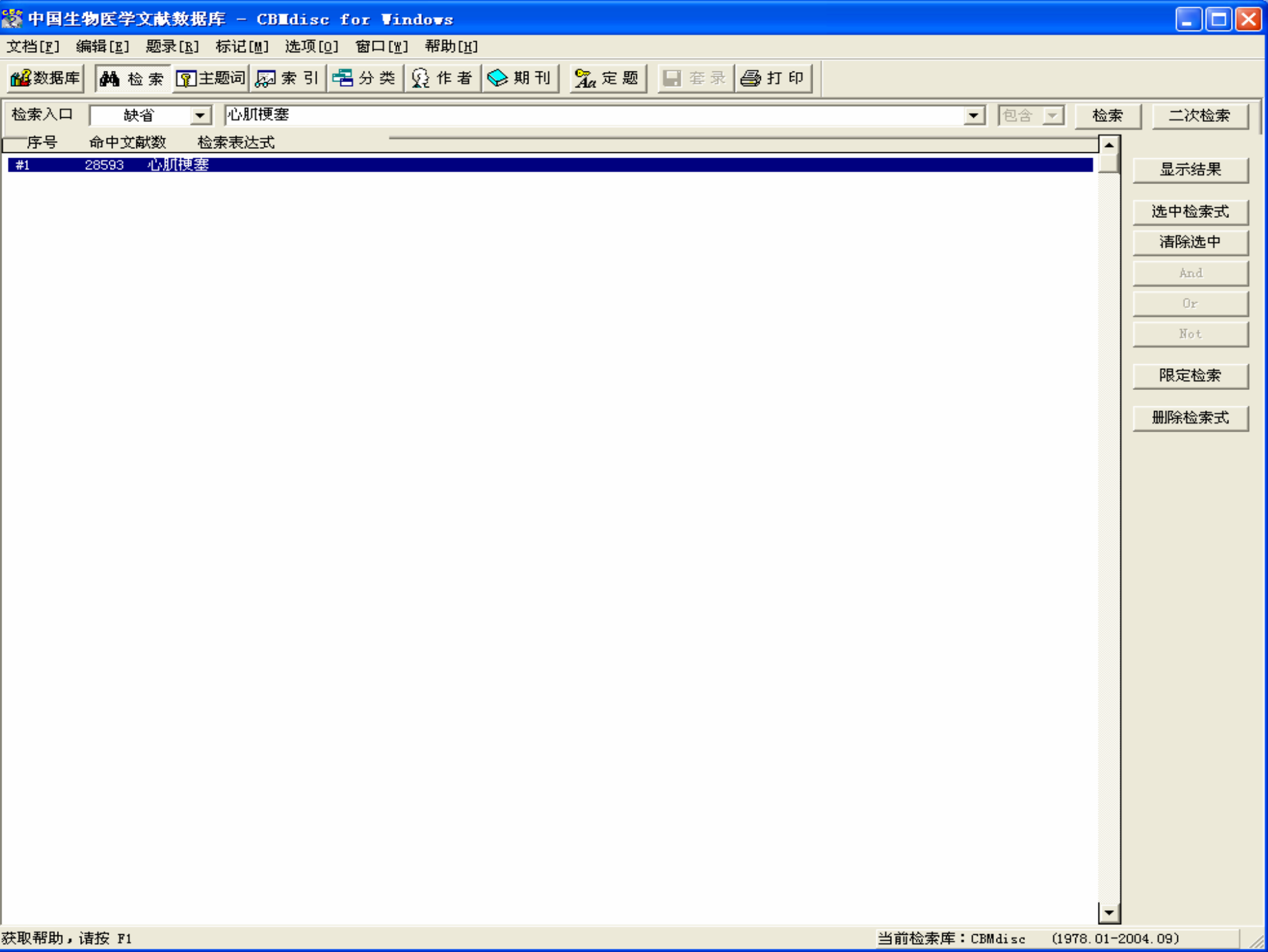
- 48、美国化学学会网络版数据库 (SCI:35, IF:21.0, Chem Rev; Accounts Chem Res)
- 49、ProQuest博硕士论文数据库
- 50、LWW医学电子期刊全文数据库 (SCI:144, IF:32.9, CA-Cancer j Clin; Circulation; Circ Res)
- 51、John Wiley 电子期刊全文数据库 (SCI:139, IF:6.75, Mass Spectrom Rev; Med Res Rev; Rev Me)
- 52、英国皇家化学学会期刊全文数据库 (SCI:18, IF:8.72, Chem Soc Rev; Nat Prod Rep; J Anal Atom)
- 53、英国医学会电子期刊全文数据库 (SCI:21, IF:6.63, BMJ; GUT; J Med Genetic)
- 54、PNAS《美国科学院会议录电子期刊全文库》
- 55、中国期刊全文数据库 1994-
- 56、万方数字化期刊数据库 1986-
- 57、MD CONSULT临床医生综合信息服务系统

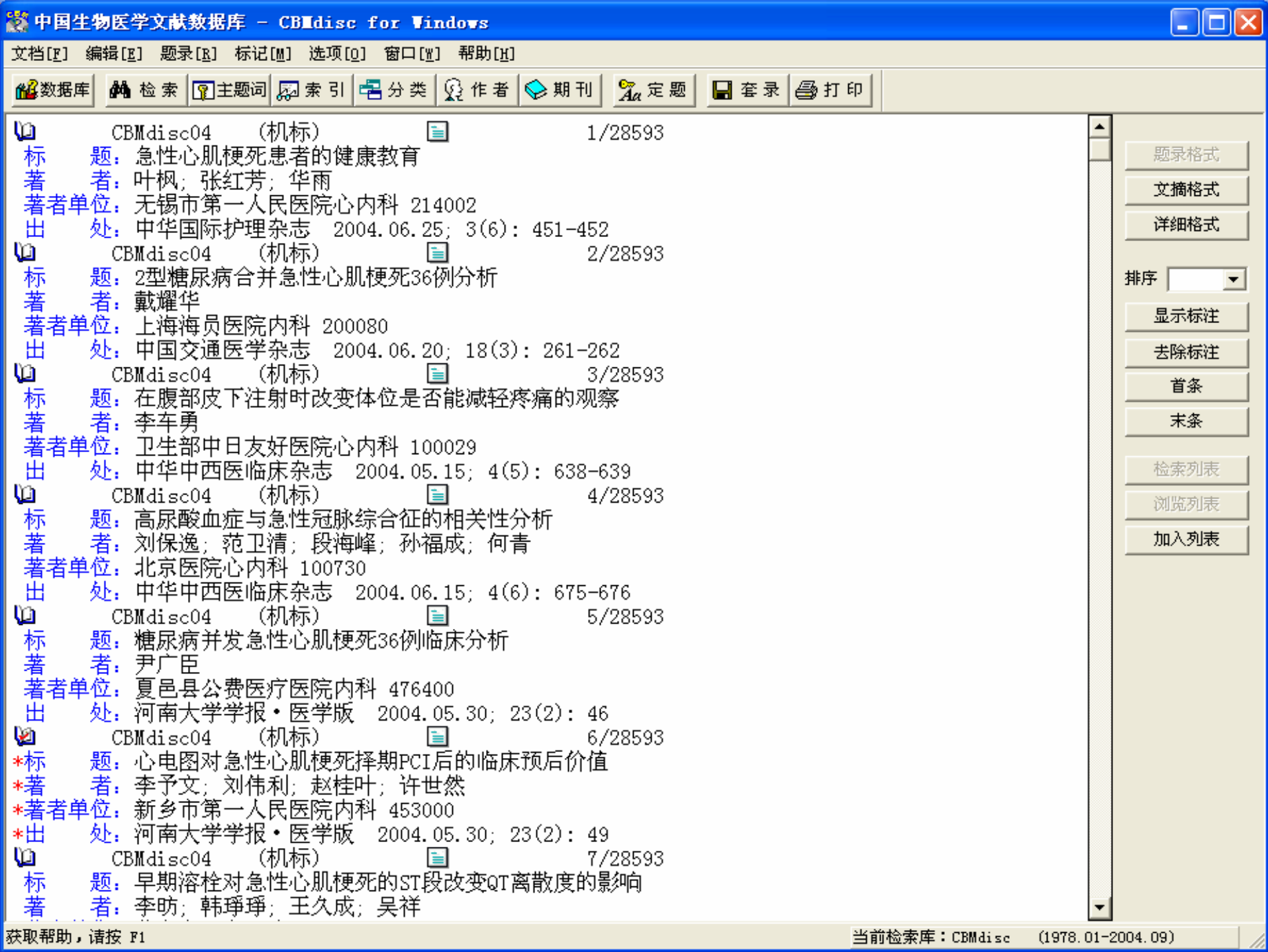












美国临床医生事实型数据库

MICROMEDEX° Healthcare Series

Main

Help

Use the Integrated Index® System to find quick answers

Search for summaries and detailed monographs for drugs, disease, alternative medicine, toxicological managements, reproductive risks, and emergency care.

Enter search term(s)

Find exact term only

Search

OR

Search by database Search by category

See database descriptions

Clinical information for your PDA Download mobileMICROMEDEX™

Preview the next update



?Toxicology (POISINDEX® & IDENTIDEX® Systems) ?Trade/Generic Drugs

(DRUGDEX® & MARTINDALE Systems)

ČUse a tool

?Drug Interactions (DRUG-REAX® System)

?Formulary Advisor™

?IV Compatibility (IV INDEX® System)

?Dosina Tools

(Calculators & Nomograms, Pearls)



Access patient education

?The CareNotes™ System

?AltMed Leaflets (AltCareDex® System)

What's New

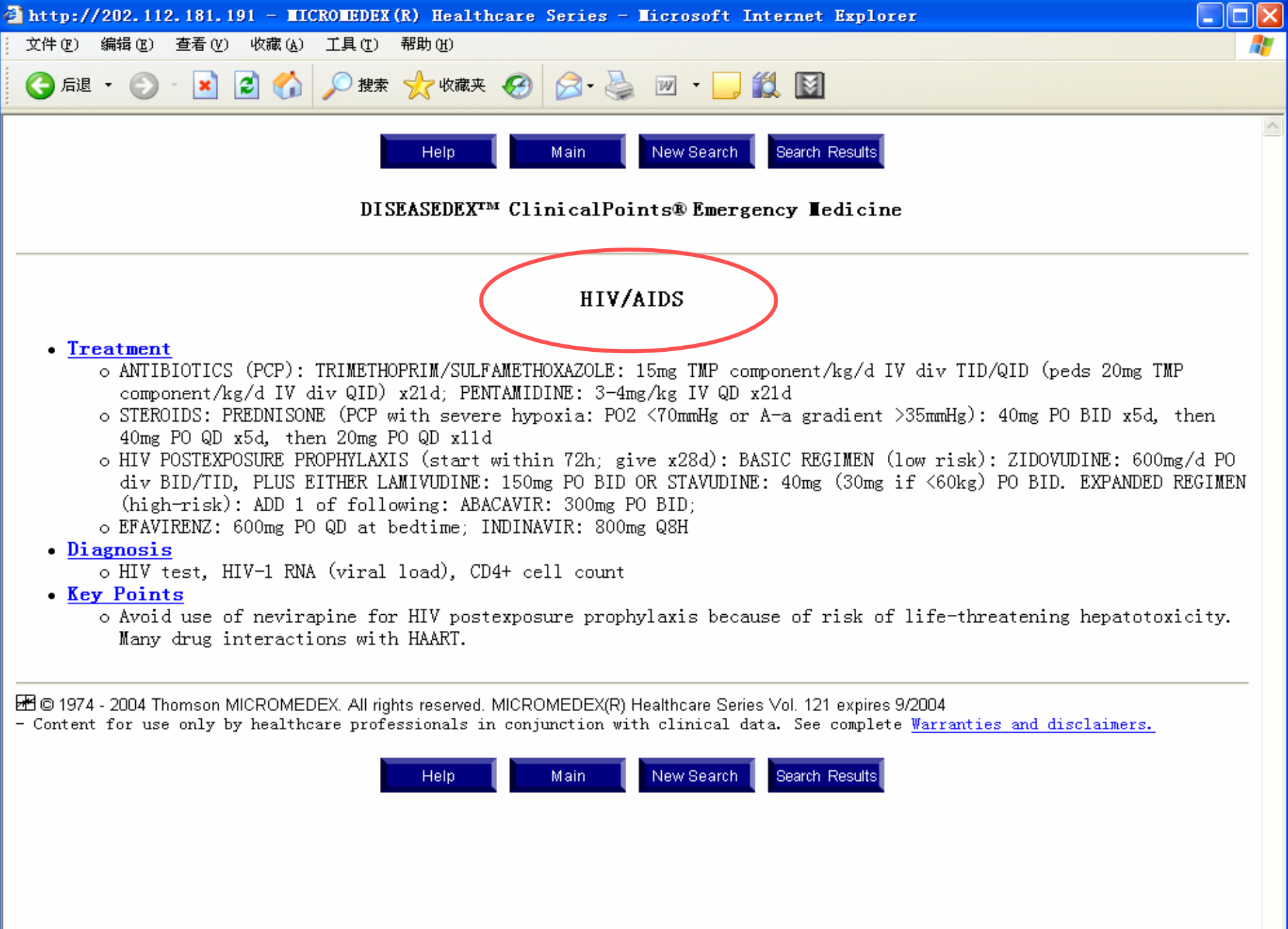
Training Center

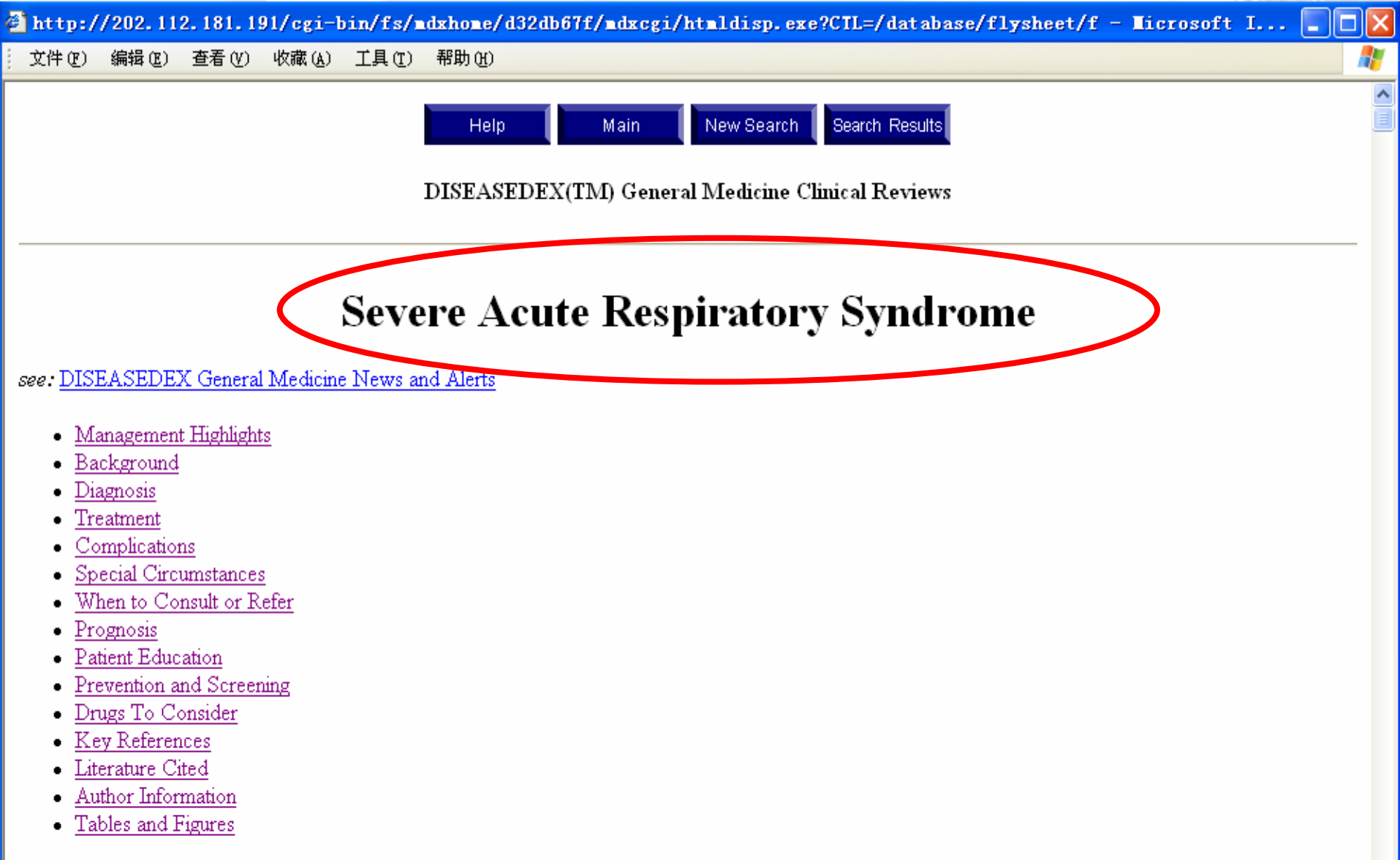
Editorial Information

Contact MICROMEDEX

MICROMEDEX provides each of the databases AS IS. All users should read the complete warranty, disclaimer and copyright information on MICROMEDEX proprietary or licensed databases in the Warranty & Disclaimer or Help sections prior to using this system as an aid in patient care. All information is intended for use only by competent healthcare and safety professionals and should be utilized in conjunction with pertinent clinical or situational data. As between you and MICROMEDEX, you assume full responsibility for ensuring the appropriate use and reliance upon the information. Copyright 2004. Thomson MICROMEDEX, All rights reserved. This product is subject to restricted rights for U.S. government users.



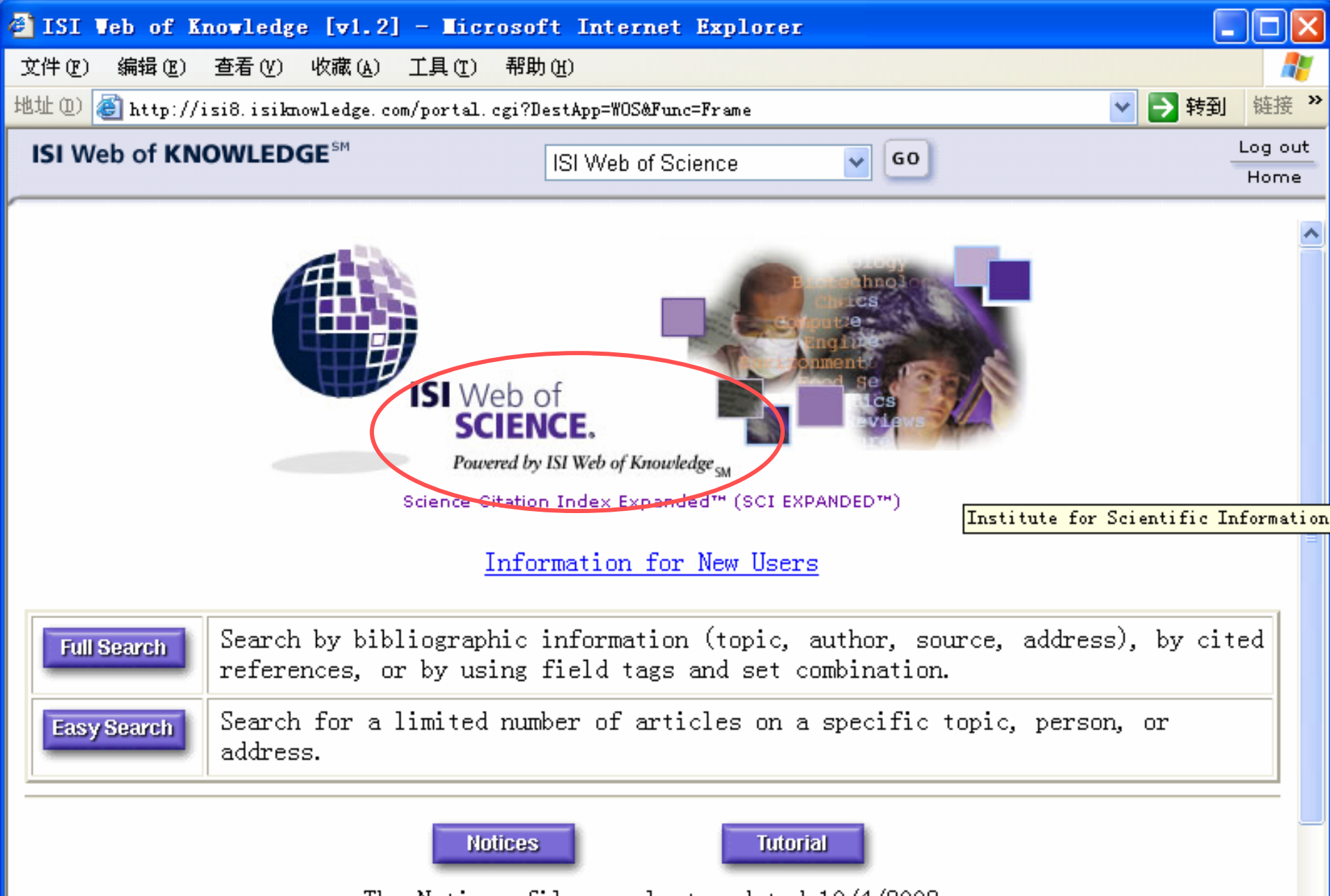




Last Modified: 2003-12-19

Other Information ...

o Related Articles

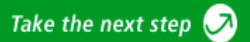


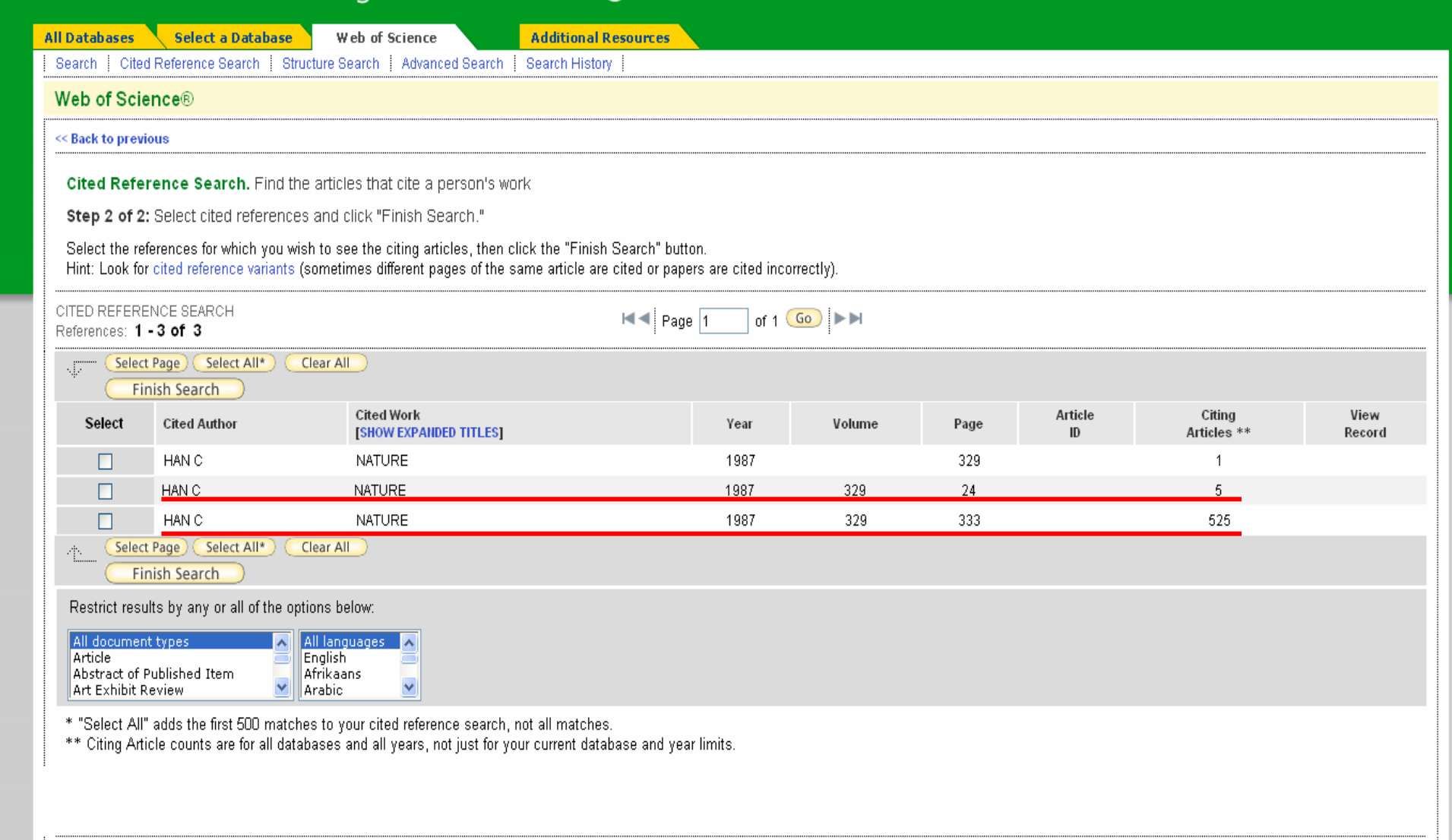
The Notices file was last updated 10/4/2002

ISI Web of Knowledge™

CITED REFERENCE SEARCH

References: 1 - 3 of 3

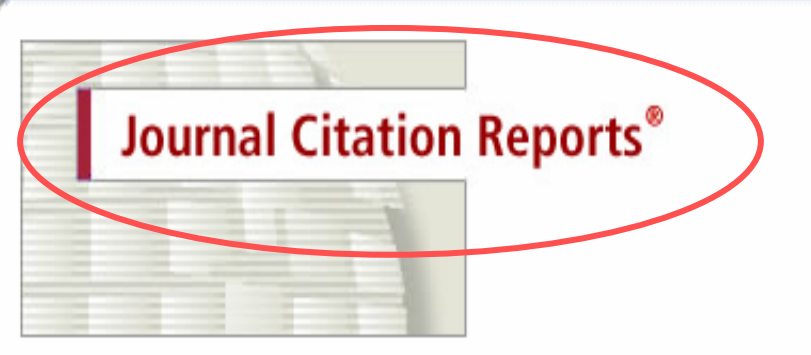




Please give us your feedback on using ISI Web of Knowledge.

of 1 Go ► M

► Page 1



Information for New Users

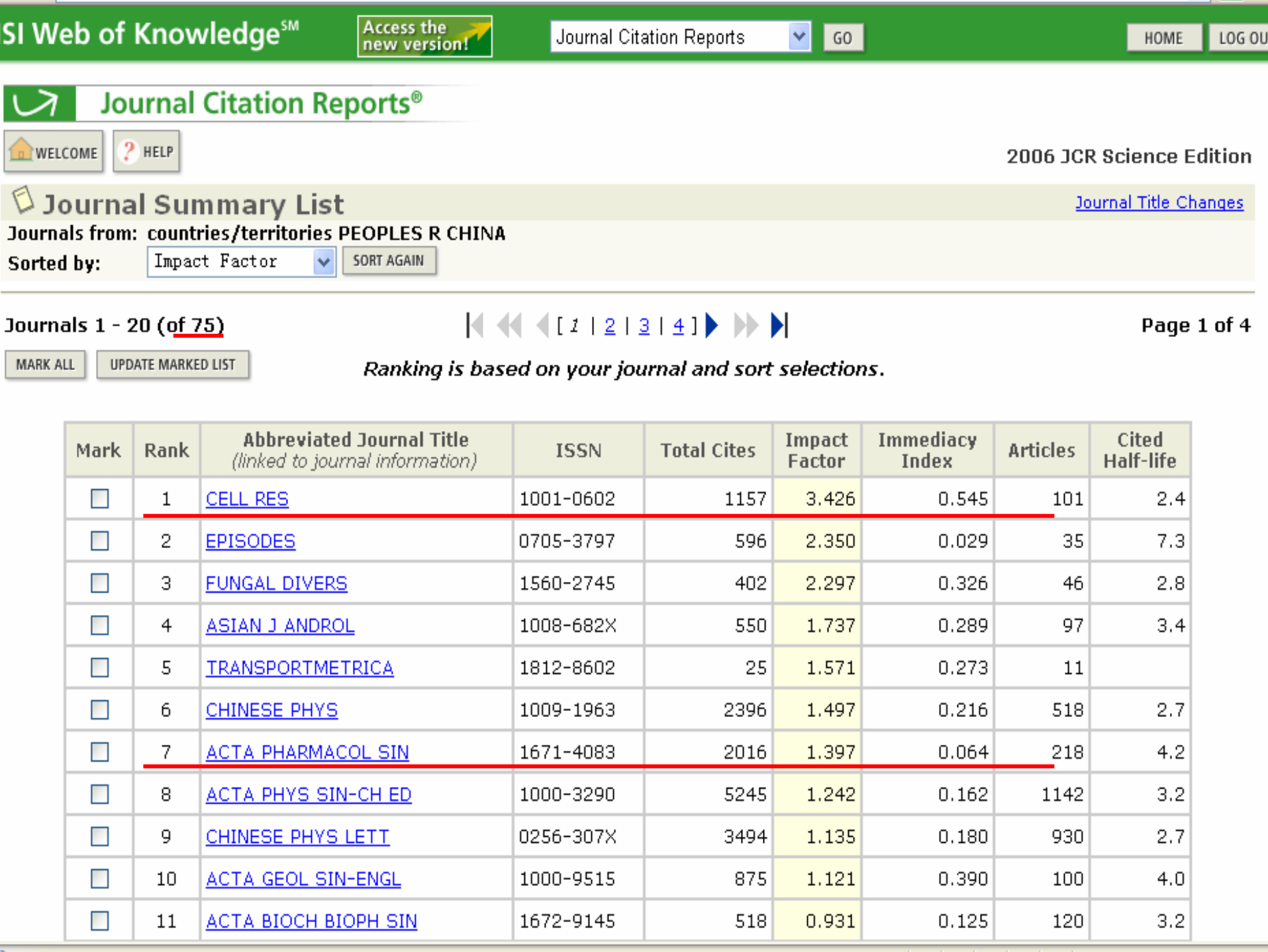
Select a JCR edition and year:	Select an option:
 JCR Science Edition 2004 JCR Social Sciences Edition 2004 	 View a group of journals by Subject Category Search for a specific journal View all journals
SUBMIT	

This product is best viewed in 800x600 or higher resolution

The Notices file was last updated Thu Jun 16 11:15:15 2005

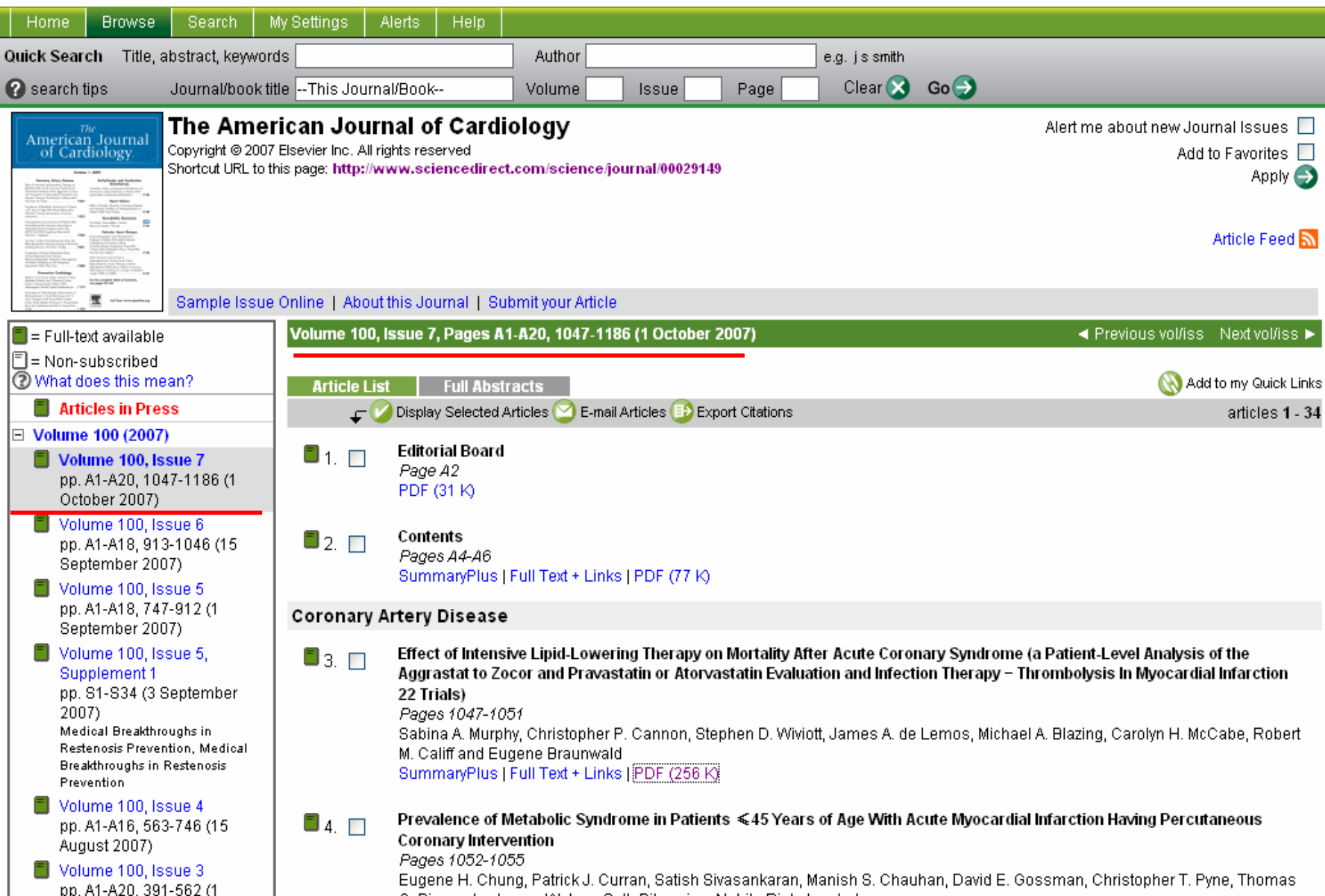
Acceptable Use Policy
Copyright © 2005 The Thomson Corporation







Login: 🖭 Register



Detachment of Subfoveal Choroidal Neovascularization in Age-related Macular Degeneration

SHIMON RUMELT, MD, IGOR KAISERMAN, MD, URI REHANY, MD, FACS, AVINOAM OPHIR, MD, JOSEPH PIKKEL, MD, AND ANAT LOEWENSTEIN, MD

- . PURPOSE: To report the entity of partial detachment and folding of subfoveal choroidal neovascularization (CNV) in age-related macular degeneration (ARMD).
- DESIGN: Interventional case reports.
- METHODS: Review of the features of CNV detachment in two patients with CNV due to ARMD by contact lens slit-lamp bioraicroscopy, fluorescein angiography, optical coherence tomography, and three-dimensional confocal scanning laser indocvanine green (ICG) angiography.
- RESULTS: One patient out of approximately 300 (0.5%) ARMD patients treated by photodynamic therapy (PDT) developed partial CNV detachment and folding 6 weeks after the second PDT treatment. Another patient out of approximately 100 (1.0%) ARMD patients treated by transpupillary therraotherapy (TTT developed partial CNV detachment and folding 6 weeks after the second TTT treatment. The CNVs were large (2,500 μra to 4,500 μra) and located between the retina and the retinal pigment epithelium. In each, these findings were clearly visualized by slit-lamp biomicroscopy. Fluorescein angiography demonstrated an associated retinal pigment epithelium tear in one patient. Optical coherence tomography showed distinctive features and confocal scanning laser ICG further delineated the detached folded CNV. The best-corrected visual acuity improved in one patient from 20/80 to 20/40 and in the other from counting fingers at 6 feet to 20/200 after the CNV detachment.
- . CONCLUSIONS: Partial CNV detachment and folding represent a unique, not previously reported, and possibly favorable outcome of PDT and TTT. The low energy

Accepted for publication Aug 9, 2002.

From the Department of Ophthalmology, Hadassah University Hospi-tal (S.R., I.K.), Jerusalem; Department of Ophthalmology, Leumit Health Care System (S.R.), Jenusalem; Department of Ophthalmology, Western Galilee-Nahariya Medical Center (S.R., U.R.), Nahariya; Department of Ophthalmology, Hillel-Yaffe Medical Center (A.O., J.P.), Hadera; and the Department of Ophthalmology, Elias Sonsky Medical Center (A.L.). Tel Aviv. Israel.

Inquiries to Shimon Rumelt, MD, Department of Ophthalmology Western Galilee-Nahariya Medical Center, P.O. Box 21, 22100 Naha riva, Israel; fax: (+972) 4-9107611.

and selectivity of these treatments may explain this phenomenon. (Ara J Ophthalmol 2002;134:822-827. © 2002 by Elsevier Science Inc. All rights reserved.)

○ UBFOVEAL CHOROIDAL NEOVASCULARIZATION (CNV) in age-related macular degeneration (ARMD) may result in progressive and irreversible severe visual loss. The outcomes of argon and krypton laser treatments for this type of CNV have been disappointing.1-3 The treated area usually underwent atrophy, resulting in poor visual acuity and central scotoma. In other cases a retinal pigment epithelium tear or rip occurred.45 The retinal pigment epithelium tear occurred after treatment of pigment epithelial detachment and occult CNV.4-14 In these cases, the presumed location of the CNV was under the retinal pigment epithelium and visual acuity usually decreased after its occurrence.4-14 In fluorescein angiography, the area from which the retinal pigment epithelium was torn showed a window defect with enhanced leaking choroidal vessels, while the torn retinal pigment epithelium usually created blocked fluorescence of the CNV. In only 10% to 44% of the eyes could subretinal pigment epithelium CNV be detected by fluorescein angiogra-

The visual outcomes of patients with subfoveal CNV have recently been improved by new treatment modalities, including photodynamic therapy (PDT) and transpupillary thermotherapy (TTT). 16,17 We describe herein a partial detachment and folding of subfoveal subretinal CNV secondary to ARMD after PDT and TTT retreatments with concomitant improvement in visual acuity. The detachment was demonstrated by funduscopic photography, fluorescein angiography, optical coherence tomography, and three-dimensional confocal scanning laser indocyanine green (ICG) angiography. We are unaware of previous reports of this entity and could find no references to it in a computerized search utilizing MEDLINE.

0002-9394/02/\$22:00 PH 50002-9394/02\01817-2

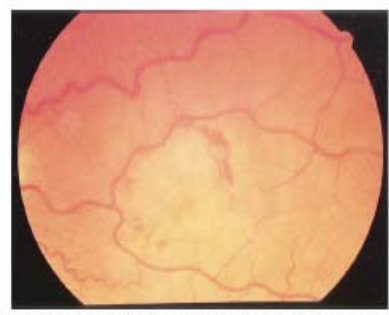




FIGURE 1. (Left) A 2,500-µm subfoveal choroidal neovascular membrane in the left eye 3 months after first photodynamic therapy in Patient 1. Visual acuity was 20/80. (Right) Fluorescein angiogram of the same lesion. The classic choroidal neovascularization membrane is uniformly enhanced and leaks.

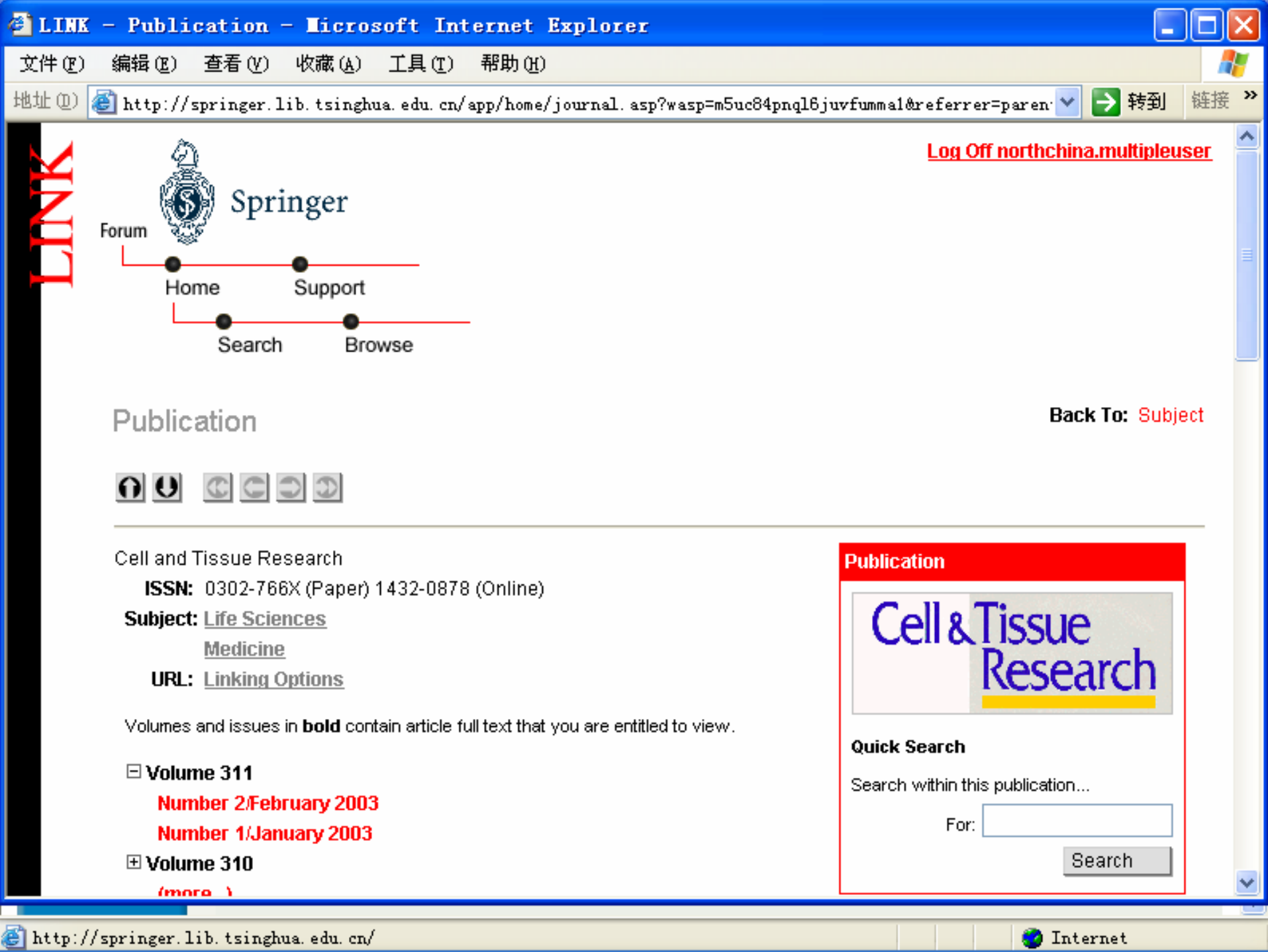
METHODS

CHOROIDAL NEOVASCULARIZATION DETACHMENT WAS detected in two patients, one after PDT retreatment and the other after TTT retreatment out of approximately 300 patients who underwent PDT and approximately 100 who underwent TTT. The patients were evaluated by contact lens slit-lamo biomicroscopy, fluorescein angiography, optical coherence tomography (OCT-2; Zeiss-Humphrey, Dublin, California, USA) and confocal scanning laser ICG angiography (HRA; Heidelberg Engineering GmbH, Dossenheim. Germany). Three-dimensional reconstruction of 20 sequential confocal scans obtained from different focal planes between the nerve fiber layer and the deep choroid was performed using self-written software.

 CASE 1: A 68-year-old man presented for a routine eve examination. His visual acuity was 20/30 in both eyes. Applanation tonometry was 12 mm Hg in both eyes. The anterior segments were normal except for minimal lens opacities. In the left eye, a subfoveal CNV of 150 µm in diameter surrounded by a small cuff of blood and peripheral hard drusen was observed. In the right eye, hard drusen and retinal pigment epithelium atrophic changes were found. No other ocular pathologic findings were disclosed. Fluorescein angiography demonstrated a well-demarcated classic CNV in the left eve.

The patient underwent PDT for the CNV in the left eye with a diode laser at 689-nm wavelength (Zeiss lena GmbH, Jena, Germany) 15 minutes after starting intravenous infusion of Verteporfin 6 mg/m2 body surface, as recommended by the TAP study. 16 No adverse reactions were noted. Fluorescein angiography performed a month later demonstrated blocked fluorescence and absence of fluorescein leakage. During the next 2 months, the classic. well-degrarcated CNV recanalized and enlarged to a diagreter of 2,500 µm showing a distinct leakage in fluorescein angiography (Figure 1). Visual acuity decreased to 20/80 owing to a relative central scotoma. The patient underwent a second PDT treatment covering the entire lesion 3 months after the first one. One week later, the central portion of the CNV, 1,000 µm in diameter, whitened, flattened, and gradually contracted thereafter.

Detachment and folding of the pasal portion of the CNV from the underlying retinal pigment epithelium occurred 6 weeks after the retreatment, bisecting the fovea (Figure 2, top left). Contact lens slit-lamp biomicroscopy showed that the detached nasal portion of the CNV was folded over the underlying attached temporal portion of the CNV. A careful examination showed that the CNV was subretinal and that the retinal oignent epithelium under the CNV-detached area remained attached. Pluorescein angiography showed that the nasal macular area. where the CNV was detached, had a uniform fluorescence without a window defect and without prominent choroidal vasculature throughout the angiography (Figure 2, top right and bottom left). The folded CNV uniformly stained throughout the angiogram without blockage of fluorescence, suggesting the absence of a retinal pigment epithelium tear. The underlying sick retinal pigment epithelium in the detached CNV area seemed attached to the overlying retina. Optical coherence tomography demonstrated elevated retina due to an underlying area of hyperreflectivity of a fibrovascular tissue representing the detached folded CNV (Figure 2, bottom right). The retinal eigment epithelium under the detached CNV area was visible and extended underneath the hyperreflective fibrovascular tissue. Underneath the nondetached CNV, the retinal pigment epithelium-choriocapillaries layer was irregularly thickened and had an undulated surface. Three-dimensional confocal scanning laser ICG demonstrated a welldefined folded CNV. During a follow-up period of 6





粒细胞集落刺激因子动员骨髓干细胞治疗 大鼠急性心肌梗塞*

陈运罗'、欧瑞明'、钟雪云'、钟立业'、陈忠峥'、彭龙云'、曾武海'、靳三庆'、张 琦'、 韩忠朝

(中山大学附属第一医院「血液内科。」心血管内科、"麻醉科。"心脏外科、广东广州 510080; 「賢南大学医学院病理学教研度、广东 广州 51 0630;"中国医学科学院血被学研究所、天路 3000 20)

[複 要] 目的:探叶 G-CSF 动员的骨脑来源于细胞对急性心肌梗塞动物模型的治疗作用与对缺血物死心 肌的保护作用,方法:用异丙肾上腺素(ISO) 复制急性心肌梗塞大鼠动物模型 .千3 h 后用 G - CSF 动负骨腕千细 胸幕放和迁移至心肌梗塞部位,并分别于 24 h.48 h和 2 圆后杀死大鼠 取出心脏 检测心肌的病理变化病化。锗 果:用 ISO 后 24 h 对照组可见的在心肌梗塞针,坏死区周围有多量以中性的细胞为主的多症细胞净创,而给疗组大 假心肌坏死程度较对照维轻。控制的细胞以单个核细胞为主₃₄8下后对照维心肌梗塞使进一步扩大。是晚在片秋分 布,而治疗独心加硬多处扩大不明显 显散在处性分布,并可见旋域或散在分布的林巴细胞样细胞 :: 周后,治疗独 未见明显心肌梗塞后抱叙维织,可见新生的心肌细胞生长、错论:G-CSF对铁血规死心肌有保护作用。用 G-CSF 动员骨脑来源的干细胞进行"自我移植"。可用于急性心肌理塞的治疗。

[类键词] · 心肌梗塞 :骨腩 :干细胞 :粒细胞集体和参因子 : 大鼠 [中图分类号] R542.2 2 [文献标识码] A

心肌梗塞病人冠状动脉闭塞,血流中断,使部分 心肌因缺血而发生灶炸凝固作坏死。坏死的心肌组 织与填补肌熔灶的瘢痕均无收缩能力,患者的心脏 因丧失大块有收缩力的心肌而出现收缩功能失调。 严重者危及生命。目前所用的治疗手段不能挽救酶 死的心肌,熔栓与冠状动脉搭桥术等也只能恢复血 流的再藤注,防治梗死都位的扩大、骨髓来源的干 校动物中心。 细胞包括骨髓造血干细胞和间质干细胞、造血干细 2 试剂 施(he manopoietic stem cell, HSC) 是一种组织干细胞。 具有多分化潜能。用 usc 按附在生物活性材料上。 在扩增后植入皮下、肌肉或骨缺损处,在微环境作用 下,可以向特定的方向转化,成为其它类型细胞**。 同样, 骨髓间质于细胞亦有多分化潜能, 在适当条件 下亦能诱导分化成为各种间叶组织如骨、软骨、脂 防。真皮以及骨骼肌与心肌^{□1}。我们用粒细胞集落 刺激因子(granulocyte colony - stimulating Factor, G csF) 动员骨髓干细胞干预性治疗心肌梗塞大鼠动物 模型,发现于预性治疗组大量的心肌癣瘤组织甚少。 并有新生的心肌细胞生长***, 为进一步了解骨髓干 细胞对缺血心肌的保护作用与对急性心肌梗塞的治

「依稿日訓 1 2001 - 11 - 23 「松回日訓 1 2001 - 12 - 10 ·[基金項目] 因家學發专項計劃項目(95 - 专 - 10):广东 省科委重点收货项目(9622050 - 02);广东省"五个一"科教兴 医工程重点项目(毎里1996 - 186号)

撑作用。本研究试用 G - CSF 动质骨髓干细胞治疗急 托心肌細窝紡物模型

材料和方法

1 实验动物

雄作 Wister 大鼠60 只,体重(200 ± 20)。.购自本

基因重组人粒细胞集落刺激因子(rha - csr)由 山东格兰百克公司惠赠, 盐酸异丙肾上腺素针剂 (isoprenaline, ISO) 购自上海禾丰制药公司。

3 实验方法

- 3.1 大鼠心肌梗塞模型的制备 大鼠心肌梗塞模 型的复制按我们以往报告的方法当用盐酸异丙肾上 腺素 5 mg/ kg 腹腔注射.
- 3.2 动物分组与用药治疗 大鼠随机分为心肌梗 蹇治疗组和心肌梗塞对限组,每组30只,治疗组用 盐酸异丙肾上腺素 5 mg/kg 胞腔注射复制大鼠心肌 梗塞模型 3 h 后用生理盐水稀释的 rhG - CSF(浓度 为 2 ms/ L) 皮下注射 | 0 ms ks | ' d | ,共 5 d. 对限组 亦用盐酸异丙肾上腺素 5 mg/ kg 腹腔注射复制大鼠 心肌梗塞模型 3 h后皮下注射等量生理盐水5 a. 在复制大鼠心肌梗塞模型后 24 h。48 h 和 2 周后分别 先后各处死大鼠10 只,取出心脏,在左心室淌离壁

正中沿心脏长轴切成两半,以10%甲醛固定,乙醇胶 水,石蜡包埋、每隔100 ;; 面 切取3 ;; 面 厚的金心脏长 轴面切片 1 张 . 共 4 张 . HE 染色 . 光镜双变病理变化。 和治疗效果。并对心肌切片采用计算机图象处理系 统测量心肌梗塞大鼠模型的 24 h 48 h .2 周后的心室 肌莨面积 ,心室肌梗死莨面积 ,心室肌痰痰莨面积 , 篮出筏只大鼠心室肌梗死总面积,心室肌瘢痕总面 积占心室肌总面积的百分比,以及每组大量的以上。 数据平均值。

4 统计学处理

学处理,数据以 テ± s 表示..

- 1 用 ISO 后 24 h. 对限组心肌病理切片可见散在心。 肌梗塞灶 ,坏死区 周围有多量以中性粒细胞为主的。 炎症细胞浸润(图),见加页面(,而治疗组大鼠心肌 坏死程度较对限组经,浸润的细胞以单个核的细胞 为主(图 2, 见加页 四), 并可见散在分布的圆形或卵 圆形核细胞, 胞浆较正常心肌细胞少(图3, 见加页 四),两组心室肌梗死总面积占心室肌总面积的百 分比分别为 2.31 % ±0.45 % 和 1.16 % ±0.21 %(P <) 0.051.
- 呈敞在片状分布,而治疗组心肌梗塞灶扩大不明显, 呈散在灶性分布,并可见成堆或散在分布的淋巴细 胞棒细胞,其核小,探染,胞浆少,细胞间胞浆融合。 7图4.见加页面(,两组心室肌梗死总面积占心室肌 总面积的百分比分别为11,43 w, ± 2,25 w, 和 1,81 w, 种观象单用骨髓干细胞分化为心肌细胞进行原位修 ±0.23% (P<0.05).
- 3 用 ISO 后 2 周、対限组可见较大量心肌疤痕组织、 呈散在片状分布,主要分布于左室心内膜下层心肌。 7图 3. 见加页面1. 心肌绞痕总面积占心室肌总面积 的百分比为 5.32 % ±1.12 %, 而治疗组未见明显液。 痕组织,并有新生的心肌细胞再生/图6,见加页面。

近年来的研究发现,组织干细胞的分化潜能远。 比人们想象的要广,尤其是组织干细胞中的骨髓造 血干细胞、用 HSC 移植 max 小鼠后,可部分恢复受 杨组织肌细胞增强蛋白的表达**,成人间质于细胞 组织。 (mescachymal seem cell, MSC) 可以向间胚组织,如骨、 教骨、肌腱、肌肉等分化™,甚至可以分化成肝細 **№**[1]。组织于细胞的这种转有的生物学运作和多分。 化潜能使其成为目前生物学最热点的裹题之一。用

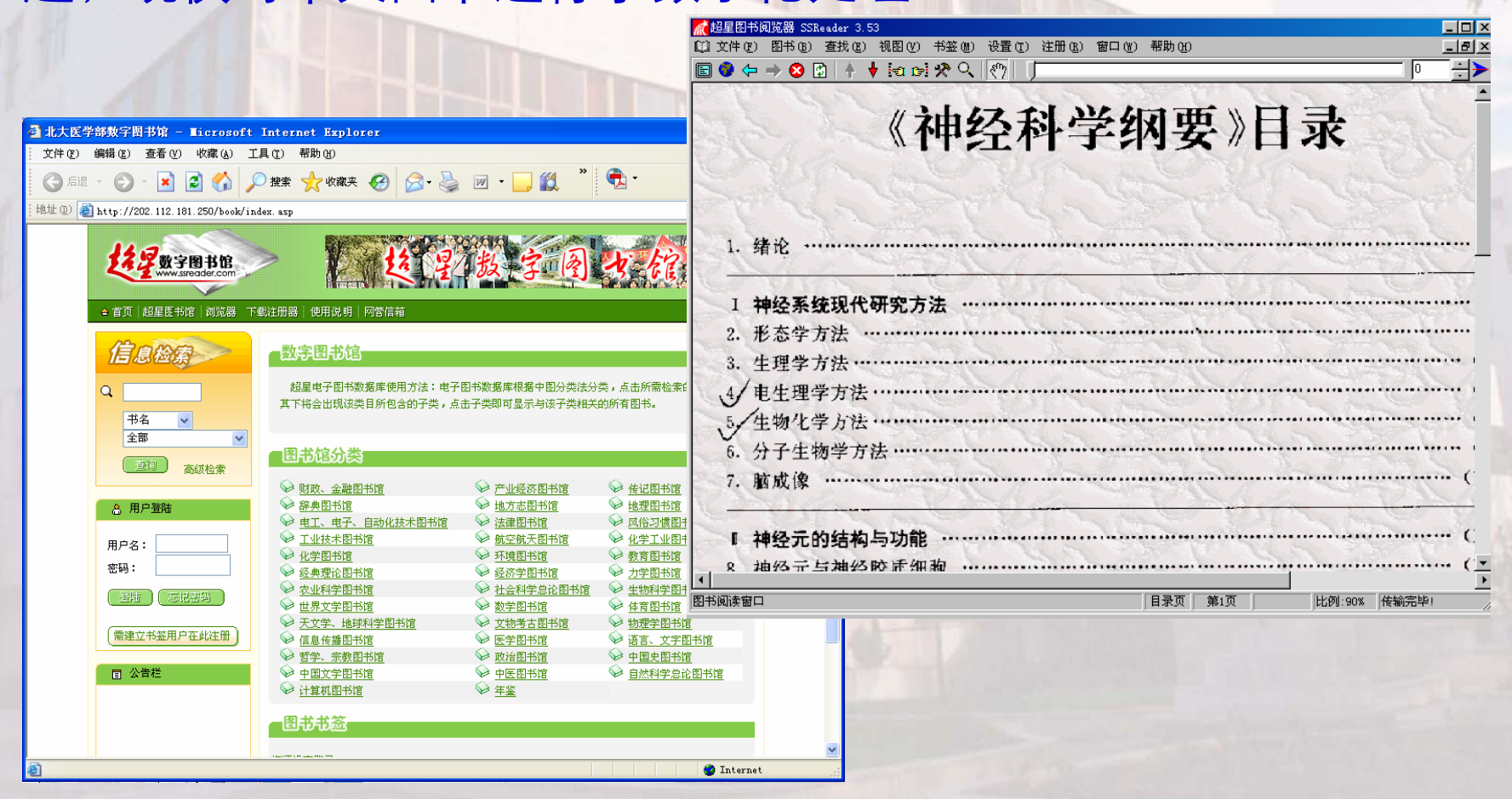
组织干细胞诱导分化成组织特异的细胞类型,可以 修复生物体受损组织或器官,对于一些难以获得干 细胞的组织 ,也可利用于细胞的多向分化潜能诱导 其它系的于细胞向特定组织的细胞分化,原位修复 病变组织、心肌细胞足水久性细胞(permanent cells),不能再生。至今为止,在心脏、肺、胰腺和肾脏 等器宜中游未能分离出于细胞, 心肌梗塞病人心肌 坏死后只能形成疤痕, 使心肌收缩出现动作失调, 以 致产生泵衰竭,严重者可存数小时内致死。我们过 去的研究发现,用 G - CSF 动员的骨髓干细胞可以原 检测数据用卡方检验,采用 5A5 软件进行统计 位修复梗死心肌,减少心肌梗塞动物模型的瘢痕组 织面积",减少心室重构所造成的远期并发掘。但 如果能在发病早期用 G-CSF 幼岛的 HSC 保护缺血 损伤的心肌细胞,在出现凝固性坏死之前避免其不 可逆的坏死或能早期修复,则可减轻泵衰竭,减少急 作心肌梗塞病人在急性期的早期死亡。

本研究用 C-CSF 对急性心肌梗塞动物模型进 ·行治疗 24 h 后,治疗组大鼠心肌坏死程度较对限组 经,浸润的细胞以单个核的细胞为主,并且还可见散 在分布的圆形或卵圆形核细胞, 跑浆较正常心肌少, 其核与浸润的单个核细胞胞核相似, 考虑为骨髓间 质于细胞浸润并向心肌细胞分化。用 150 后 48 h. 对 网络心肌梗塞灶急剧扩大,而治疗组心肌梗塞灶扩 2 用 ISO 后 48 h, 对限组心肌梗塞灶进一步扩大, 大不明显,并见战堆或敞在分布的淋巴细胞样细胞, 其核小,探染,胞浆少,细胞间胞浆融合,隐约可见横 纹,与单个核细胞相似,多虑为骨髓造血干细胞浸润 并向心肌细胞分化、治疗组早期心肌梗塞面积即小 于对限组,后期亦不象对限组一样进一步扩大。此 复不易解释。我们推测很可能 a - cs F 还具有保护 心肌,减少心肌细胞凋亡的作用。近年研究发现,心 肌梗塞不仅有细胞坏死,也有细胞凋亡□、凋亡细 施一般只出现在梗死周围的缺血心肌,其梗塞周围 缺血区的心肌细胞调亡在早期心梗的梗塞区延伸过 程中起重要作用、已知对于依赖 a - csr 生长的细 胞, c - csr 具有促进其增殖、抑制其阀亡的作用□□. 故此我们认为 G- CSF 亦可能对心肌细胞发挥团样 作用。在心梗早期 C-CSF通过减少梗塞后心肌细 施的阀亡来抑制心肌梗塞面积的扩大,心梗后期则 通过促进心肌具生来减少或消除心梗后的心脏疾痕

> 目前的常用治疗手段不能阻止急性心肌梗塞病 大的心肌坏死。Orlic 等門试用造血于细胞移植的方 法治疗小鼠的心肌梗塞,但着应用于临床治疗人心 肌梗塞则存在干细胞来源团难与存在免疫排斥反应

电子图书

图书馆对*60000*余种重要的或使用频率较高的医学专著或教材进行了数字化处理,并在网上发布提供读者使用。由于版权问题,现仅对中文图书进行了数字化处理。



电子学位论文

图书馆对馆藏的本校博硕士学位论文进行了数字化加工处理,并实现网上浏览检索,便于研究生之间的交流。从2003年起,所有毕业研究生将从网上向图书馆提交电子版学位论文,并

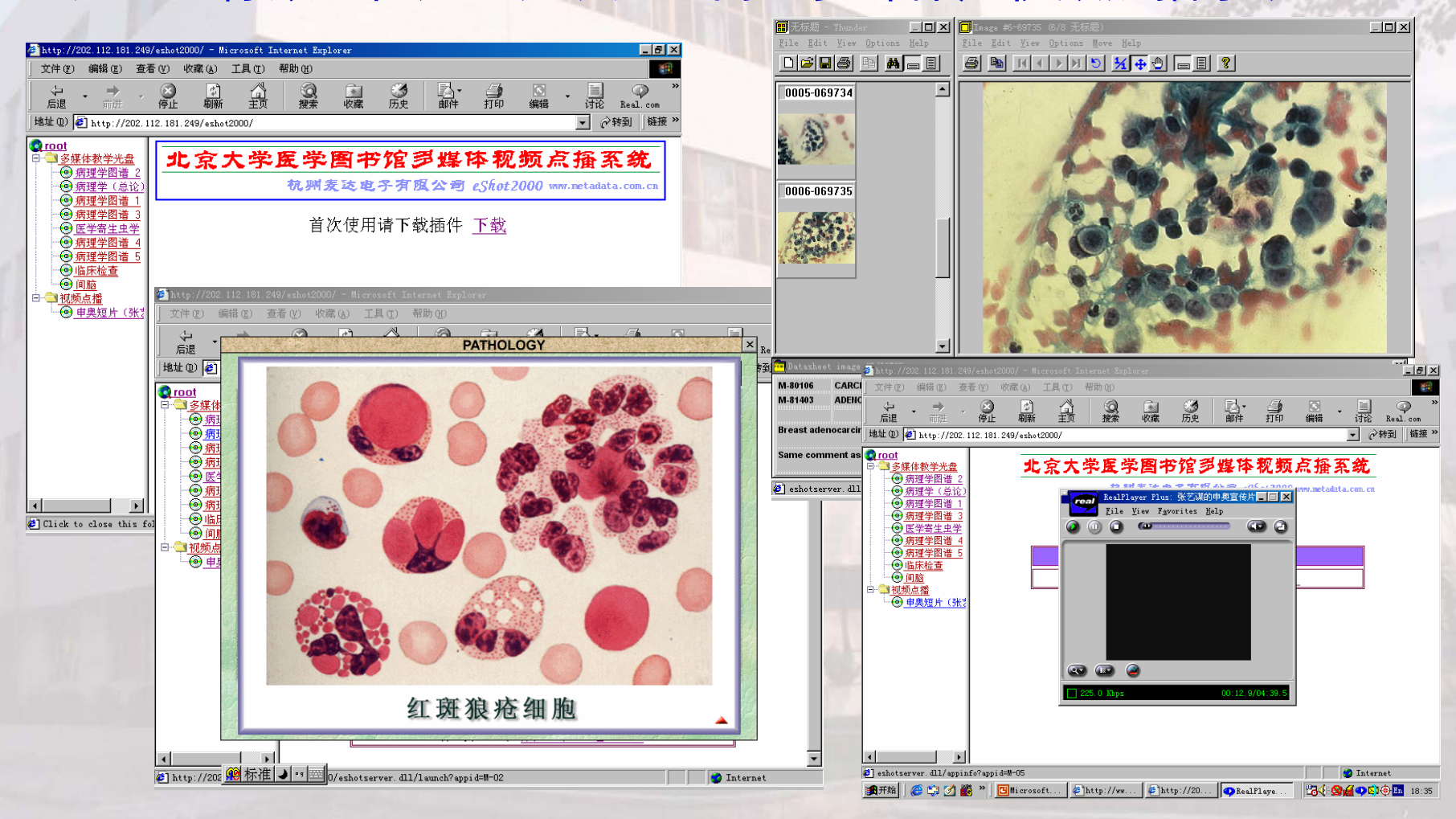
□ 北京大学医学部数字论文系統 - Microsoft Internet Explorer

自动生成学位论文数据库。



其它电子资源

目前,图书馆正在对馆藏声频、视频资料及多媒体教学光盘进行数字化处理,以建立网上多媒体声视频点播系统。



信息检索的基本步骤与方法(一)

- □第一步 分析课题确定主题概念
 - ◆提炼主要概念, 明确相互关系
 - ◆ 求新、 求准还是求全
 - ◆明确所需信息的类型, 文献或数值事实, 全文或文摘, 专利或其他

信息检索的基本步骤与方法(二)

- □第二步 选择检索方式和数据库
 - ◆光盘数据库, 网络数据库
 - ◆回溯年限、专业范围、收录重点和特色
 - ◆数据更新速度
 - ◆检索指令、检索语法和规则

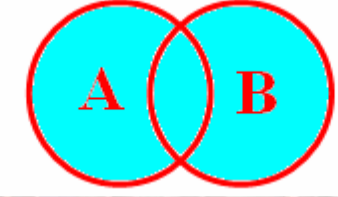
信息检索的基本步骤与方法(三)

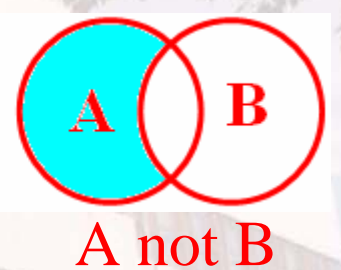
- □第三步 确定检索途径
 - ◆分类途径、主题途径、著者途径、引文 途径和符号途径
 - ◆主题途径中的关键词 (自由词)检索和主题词检索
 - ◆禁用词 (Stopwords)

信息检索的基本步骤与方法(四)

- □第四步 编制检索策略(检索式)
 - ◆布尔逻辑检索 (and, or, not)







A and B

A or B

逻辑"与"运算

逻辑"或"运算

逻辑"非"运算

- ◆截徇检索 (*, ?)
 myocardi* wom?n
- ◆位置检索 (with, near, pre)

 SARS with psychology SARS pre3 psychology
- ◆限制检索 (in, =)

 SARS in ti AIDS and pt=review

信息检索的基本步骤与方法(五)

- □第五步 检索策略的反馈调整
 - ◆检索结果太多,查准率较低时,检索式可做此下调整
 - 1.减少同义词或同类相关词。
 - 2.提惠检索词的专指度,采用专指性强的主题词或自由词。
 - 3.增加限制概念,用逻辑"与" (and) 将它们连接起来。
 - 4.使用限定字段检索,把检索伺限定在题目、主题词等主要字段。
 - 5.使用适当的位置算符,排除误检,提高查准率。
 - 6.缩短检索年限,限制检索结果的文献类型 (的综述)、 语种及出版图,或限定在核心期刊检索。

信息检索的基本步骤与方法(六)

- □第五步 检索策略的反馈调整
 - ◆检索结果太少,查全率较低时,应从扩大检索范围入手,检索式可做此下调整:
 - 1.增加同义词或同类相关词,并用逻辑"或"连接这些词。
 - 2.降低检索词的专指度,可从词表或检出文献中这样上位词或泛指词补充到检索式中。
 - 3.减少限制概念,少用and,删除一些非关键的检索词。
 - 4.进行扩展检索 (族性检索),根据词表的分类结构体系扩展关键的检索词。
 - 5.取消某些限制过严的字段限制、位置算符限制 (或者改用限制程度较小的位置算符)。
 - 6.增加回溯检索年限。

信息检索的基本步骤与方法(七)

- □第六步 检索结果的输出
 - ◆检索结果的后处理分析
 - ◆显示、打印、保存或Email
 - ◆输出格式的选择
 - ◆原始文献的查找

